

В.А. Шлычков¹, В.М. Мальбахов², А.А. Леженин²

Численное моделирование атмосферной циркуляции и переноса загрязняющих примесей в Норильской долине

¹ Институт водных и экологических проблем СО РАН (Новосибирский филиал),

² Институт вычислительной математики и математической геофизики СО РАН, г. Новосибирск

Поступила в редакцию 17.12.2004 г.

Представлены результаты расчетов локальной циркуляции воздуха вблизи Норильска. Город расположен в местности со сложным рельефом, перепад высот превышает 1000 м. Орографические особенности в окрестностях города обуславливают формирование горно-долинных циркуляций с большим разбросом траекторий и быстроменяющимся направлением переноса. Для описания динамики воздушного потока и перераспределения загрязнителей используется численная модель мезомасштабного пограничного слоя атмосферы, адаптированная для природно-географических условий г. Норильска. Получены модельные оценки выпадений двуокиси серы над территорией в различных метеорологических ситуациях.

Введение

По административному признаку территория г. Норильска относится к Таймырскому автономному округу и расположена за Полярным кругом вблизи параллели 69° с.ш. Город расположен в Норильской долине (длина 170 км, ширина 40–60 км), ориентированной в северо-западном направлении. С юга долина ограничена хребтами Лонгдокойский Камень высотой 600–700 м, а с севера и востока — горными системами Путоран и др. с максимальными отметками выше 1000 м.

Короткое холодное лето обуславливает высокую чувствительность и малую устойчивость природных комплексов к экологическим нагрузкам. Наибольшую опасность для тундровой зоны представляет нарушение растительного покрова. Малая продолжительность вегетационного периода (60 дней) ограничивает скорость биологического круговорота и определяет низкую способность тундровых экосистем к регенерации. Находясь на пределе своего существования, древесная растительность в тундре при уничтожении не восстанавливается. Вместе с тем вследствие низких температур и подавленного биологического обмена увеличивается устойчивость вредных веществ и происходит их аккумуляция в природных системах.

Лесотундровая растительность весьма чувствительна к атмосферным загрязнителям. Абсорбирующая способность северных лесов по отношению к сернистому ангидриду составляет не более 16–18 кг на 1 га, что в несколько десятков раз ниже, чем в лесной зоне умеренных широт. Некоторые виды мхов и лишайников Крайнего Севера погибают уже при достижении концентрации сернистого ангидрида на уровне 10% от нормативного значения предельно допустимой концентрации (ПДК) в воздухе. Это обстоятельство вместе с низкой экологической емкостью природы повышает риск экологических катастроф.

На территории Норильска расположены предприятия цветной металлургии — ГМК «Норильский никель» с валовым объемом выбросов более 2 млн т/год [1], причем большая часть выбросов приходится на двуокись серы. Сернистый ангидрид и сульфаты являются агрессивными соединениями и относятся к числу приоритетных. Загрязнение воздушного бассейна, территорий и водных объектов соединениями серы приводит к различным неблагоприятным последствиям, включая ухудшение здоровья населения, деградацию лесов, закисление внутренних пресных водоемов.

Выбросы ГМК столь значительно влияют на северную природу, что отмирание и повреждение растительности наблюдаются на расстояниях выше 100 км от источника и зона влияния увеличивается со временем [2]. В связи с этим возникает необходимость получения оценок техногенной нагрузки на близлежащие территории и вклада индустриального района в общее загрязнение региона. Помимо выбросов SO₂, представляет интерес достоверное определение потоков примесей через границы региона в аспекте дальнего переноса парниковых газов, оказывающих влияние на климатические параметры сопредельных территорий и планеты в целом. Эта задача становится актуальной в связи с ратификацией РФ Киотского протокола.

Норильский регион характеризуется суровым климатом, обширностью территории и труднодоступностью, что резко ограничивает возможность проведения непосредственных натурных исследований. Моделирование дает возможность воспроизведения атмосферных процессов для описания переноса и трансформации газоаэрозольных примесей и количественных оценок выпадений сульфатов на подстилающую поверхность.

Ниже сформулирована математическая модель мезомасштабного атмосферного пограничного слоя (АПС) для описания локальных процессов на огра-

ниченной территории [3]. Модель предназначена для расчета полей турбулентности, ветра, температуры и влажности в нижней тропосфере. В качестве базовых приняты уравнения гидротермодинамики атмосферы, записанные в приближении глубокой конвекции. Подстилающая поверхность предполагается орографически и термически неоднородной с наличием природно-ландшафтных и антропогенных объектов в виде водоемов, лесов, оголенной почвы, снежного покрова, городских конгломератов, промышленных комплексов и т.п.

Постановка задачи

Введем декартову систему координат (x, y, z) , в которой ось x направлена на восток, y – на север, z вертикально вверх. В качестве исходных примем систему «неупругих» [4] уравнений гидротермодинамики в приближении Буссинеска. В термодинамических полях выделим основное («фоновое») течение, отражающее начальную плотностную стратификацию АПС:

$$\Theta = \bar{\Theta}(z) + \theta; T = \bar{T}(z) + T'; \\ P = \bar{P}(z) + p; \Pi = \bar{\Pi}(z) + \pi, \quad (1)$$

где Θ , T , P , Π – потенциальная температура, абсолютная температура, давление и функция Экснера (аналог давления) соответственно, переменные с чертой – фоновые поля, удовлетворяющие уравнениям состояния и статики:

$$\bar{P} = R_a \bar{\rho} \bar{T}; \frac{d\bar{P}}{dz} = -\bar{\rho}g; \bar{\Pi} = \frac{\bar{\Theta}}{\bar{T}}. \quad (2)$$

Здесь $\bar{\rho}(z)$ – статическое падение плотности с высотой; g – ускорение силы тяжести; R_a – газовая постоянная воздуха. Исходными считаются уравнения Рейнольдса, полученные как результат осреднения по ансамблю уравнений Навье–Стокса [5]:

$$\begin{aligned} \frac{\partial u}{\partial t} + u \frac{\partial u}{\partial x} + v \frac{\partial u}{\partial y} + w \frac{\partial u}{\partial z} &= \\ &= -c_p \bar{\Pi} \frac{\partial \pi}{\partial x} + lv - \frac{1}{\bar{\rho}} \left(\frac{\partial \tau_{xx}}{\partial x} + \frac{\partial \tau_{xy}}{\partial y} + \frac{\partial \tau_{xz}}{\partial z} \right), \\ \frac{\partial v}{\partial t} + u \frac{\partial v}{\partial x} + v \frac{\partial v}{\partial y} + w \frac{\partial v}{\partial z} &= \\ &= -c_p \bar{\Pi} \frac{\partial \pi}{\partial y} - lu - \frac{1}{\bar{\rho}} \left(\frac{\partial \tau_{yx}}{\partial x} + \frac{\partial \tau_{yy}}{\partial y} + \frac{\partial \tau_{yz}}{\partial z} \right), \\ \frac{\partial w}{\partial t} + u \frac{\partial w}{\partial x} + v \frac{\partial w}{\partial y} + w \frac{\partial w}{\partial z} &= \\ &= -c_p \bar{\Pi} \frac{\partial \pi}{\partial z} + \lambda \vartheta + 0,61gq - \frac{1}{\bar{\rho}} \left(\frac{\partial \tau_{zx}}{\partial x} + \frac{\partial \tau_{zy}}{\partial y} + \frac{\partial \tau_{zz}}{\partial z} \right), \\ \frac{\partial \vartheta}{\partial t} + u \frac{\partial \vartheta}{\partial x} + v \frac{\partial \vartheta}{\partial y} + w \frac{\partial \vartheta}{\partial z} + Sw &= \end{aligned}$$

$$= -\frac{1}{\bar{\rho}} \left(\frac{\partial \sigma_x}{\partial x} + \frac{\partial \sigma_y}{\partial y} + \frac{\partial \sigma_z}{\partial z} \right) - \frac{1}{\bar{\rho} c_p} \frac{\partial R}{\partial z} + \Phi_T, \\ \frac{\partial \bar{\rho} u}{\partial x} + \frac{\partial \bar{\rho} v}{\partial y} + \frac{\partial \bar{\rho} w}{\partial z} = 0, \quad (3)$$

где ϑ – возмущения потенциальной температуры; q – удельная влажность; l – параметр Кориолиса; λ – параметр плавучести; c_p – удельная теплоемкость воздуха; $S = \frac{\partial \bar{\Theta}}{\partial z}$ – температурная стратификация; R – поток радиации; Φ_T – фазовые притоки тепла; τ_{ij} – компоненты тензора турбулентных напряжений. Система уравнений (3) является базовой при построении мезомасштабной модели АПС.

Соотношения турбулентного замыкания формулируются в предположении анизотропии процессов по горизонтали и вертикали. Для описания горизонтальной диффузии используется модель Смагоринского, а вертикальная вихревая вязкость рассчитывается с помощью двухпараметрической модели полуэмпирической теории турбулентности. В терминах τ_{ij} модель турбулентности имеет вид [6]:

$$\begin{aligned} \tau_{xx} &= K_s D_T, \quad \tau_{yy} = -K_s D_T, \quad \tau_{xy} = \tau_{yx} = K_s D_S, \\ \tau_{zx} &= K_s w_x, \quad \tau_{zy} = K_s w_y, \quad \tau_{xz} = K_z u_z, \\ \tau_{yz} &= K_z v_z, \quad \tau_{zz} = K_z w_z, \end{aligned} \quad (4)$$

где

$$D_T = u_x - v_y, \quad D_S = v_x + u_y$$

– компоненты плоской деформации, а коэффициент турбулентного обмена по горизонтали рассчитывается с помощью соотношения Смагоринского:

$$K_s = \alpha \Delta s \sqrt{D_T^2 + D_S^2};$$

$\Delta s = \Delta x \Delta y$ – площадь элементарной x -, y -ячейки; α – множитель пропорциональности. Для описания турбулентного обмена по вертикали привлекаются эволюционные уравнения для кинетической энергии турбулентности b и скорости ее диссипации ε [7]:

$$\begin{aligned} \frac{\partial b}{\partial t} + u \frac{\partial b}{\partial x} + v \frac{\partial b}{\partial y} + w \frac{\partial b}{\partial z} &= \\ &= \frac{\partial}{\partial x} K_s \frac{\partial b}{\partial x} + \frac{\partial}{\partial y} K_s \frac{\partial b}{\partial y} + \frac{\partial}{\partial z} K_z \frac{\partial b}{\partial z} + J_1 - \varepsilon, \\ \frac{\partial \varepsilon}{\partial t} + u \frac{\partial \varepsilon}{\partial x} + v \frac{\partial \varepsilon}{\partial y} + w \frac{\partial \varepsilon}{\partial z} &= \\ &= \frac{\partial}{\partial x} K_s \frac{\partial \varepsilon}{\partial x} + \frac{\partial}{\partial y} K_s \frac{\partial \varepsilon}{\partial y} + \frac{\partial}{\partial z} K_z \frac{\partial \varepsilon}{\partial z} + c_2 \frac{\varepsilon}{b} J_1 - c_3 \frac{\varepsilon^2}{b}, \\ K_z &= c_1 \frac{b^2}{\varepsilon}, \end{aligned}$$

где

$$J_1 = \frac{1}{2} K_z (u_z^2 + v_z^2 + w_z^2) - \alpha_\theta K_z \lambda \bar{\Theta}_z$$

– источник, пополняющий энергию турбулентности; c_1 , c_2 , c_3 – универсальные постоянные.

Определим область решения в виде прямоугольного параллелепипеда с неровной нижней границей, отражающей неоднородность рельефа подстилающей поверхности:

$$0 \leq x \leq L_x, 0 \leq y \leq L_y, \delta \leq z \leq H, \quad (5)$$

где L_x, L_y – размеры области по горизонтали; функция $z = \delta(x, y)$ задает рельеф; H – положение верхней границы. Ограничения на горизонтальные масштабы воспроизводимых явлений связаны с пре-небрежением сферичностью земной поверхности в исходных уравнениях и неучетом β -эффекта (изменение параметра Кориолиса вдоль меридиана). Упомянутые эффекты можно считать несущественными при размерах области в плане, не превышающих 1000 км.

Базовый набор краевых условий для системы (3) сформулируем в виде

$$\begin{aligned} \frac{\partial u}{\partial x} &= \frac{\partial v}{\partial x} = \frac{\partial w}{\partial x} = 0, \quad \frac{\partial \vartheta}{\partial x} = 0 \text{ при } x = 0, x = L_x; \\ \frac{\partial u}{\partial y} &= \frac{\partial v}{\partial y} = \frac{\partial w}{\partial y} = 0, \quad \frac{\partial \vartheta}{\partial y} = 0 \text{ при } y = 0, y = L_y. \end{aligned} \quad (6)$$

В нижней части АПС непосредственно у подстилающей поверхности выделим слой постоянных потоков (СПП) толщиной h , в котором вертикальные градиенты полей намного превосходят их значения в вышележащих слоях. В численных моделях АПС обычно используют параметризацию, в основу которой положена теория подобия Монина–Обухова [8]. Запишем основные соотношения теории подобия, которые служат краевыми условиями на нижней границе области:

$$\begin{aligned} K_z \frac{\partial u}{\partial z} &= c_u |\mathbf{u}| u, \quad K_z \frac{\partial v}{\partial z} = c_u |\mathbf{u}| v; \quad w_n = 0; \\ K_z \frac{\partial \Theta}{\partial z} &= c_T |\mathbf{u}| (\theta - \theta_0) \text{ при } z = h + \delta, \end{aligned} \quad (7)$$

где c_u, c_T – коэффициенты сопротивления и теплообмена, рассчитываемые с помощью модели СПП; θ_0 – температура подстилающей поверхности; w_n – нормальный к поверхности Земли компонент скорости.

На верхней границе поставим условия вида

$$u = \mathbf{U}, \quad v = \mathbf{V}, \quad p = p_H, \quad \frac{\partial \theta}{\partial z} = S_0 \text{ при } z = H, \quad (8)$$

где \mathbf{U}, \mathbf{V} – вектор внешней (крупномасштабной) скорости ветра в свободной атмосфере; p_H – заданное барическое поле; S_0 – статическая устойчивость стандартной атмосферы.

В качестве начальных условий принималось горизонтально однородное стационарное решение задачи при устойчивой стратификации АПС.

Модель переноса и диффузии примеси

Уравнения полуэмпирической теории переноса и диффузии примеси в АПС имеют вид [6]:

$$\frac{\partial \mathbf{C}}{\partial t} + u \frac{\partial \mathbf{C}}{\partial x} + v \frac{\partial \mathbf{C}}{\partial y} + \frac{1}{\bar{\rho}} w \frac{\partial \bar{\rho} \mathbf{C}}{\partial z} - \frac{w_g}{\bar{\rho}} \frac{\partial \bar{\rho} \mathbf{C}}{\partial z} =$$

$$= \frac{1}{\bar{\rho}} \left(\frac{\partial}{\partial x} \bar{\rho} K_s \frac{\partial \mathbf{C}}{\partial x} + \frac{\partial}{\partial y} \bar{\rho} K_s \frac{\partial \mathbf{C}}{\partial y} + \frac{\partial}{\partial z} \bar{\rho} K_z \frac{\partial \mathbf{C}}{\partial z} \right) + I_{\mathbf{C}} + \mathbf{F}(\mathbf{C}), \quad (9)$$

где $\mathbf{C}(x, y, z, t)$ – вектор концентрации примеси; $I_{\mathbf{C}}$ – мощность эмиссии; w_g – скорость седиментации; $\mathbf{F}(\mathbf{C})$ – матрица химической трансформации компонентов смеси.

Краевые условия на нижней границе зададим в виде

$$K_z \frac{\partial \mathbf{C}}{\partial z} = \gamma \mathbf{C} \text{ при } z = h + \delta, \quad (10)$$

где γ – скорость сухого (поверхностного) осаждения.

На верхней границе поставим условие

$$K_z \frac{\partial \mathbf{C}}{\partial z} = 0 \text{ при } z = H. \quad (11)$$

В процессе переноса сернистый ангидрид SO_2 испытывает химические превращения, трансформируясь в сульфаты и серную кислоту, которые в результате вымывания осадками поступают на подстилающую поверхность в виде кислотных дождей. В данной постановке рассматривается двухкомпонентная примесь $\mathbf{C} = (C_1, C_2)$, содержащая первичную субстанцию $C_1 = \text{SO}_2$ и сульфаты $C_2 = \text{SO}_4^{2-}$.

Учитываемые в модели преобразования примеси состоят в следующем. Эмиссия двуокиси серы в процессе перераспределения в пространстве за счет адвекции, диффузии и вертикального перемешивания частично поглощается подстилающей поверхностью, частично выпадает с осадками, а также превращается в сульфат-ионы. Образовавшиеся сульфаты наряду с переносом и диффузией подвергаются сухому и влажному осаждению. Рассматривая блок химических преобразований как отдельный этап метода расщепления, запишем его в по-компонентном виде [9]:

$$\frac{\partial C_1}{\partial t} = -k_1 C_1 - n_1 C_1, \quad \frac{\partial C_2}{\partial t} = \beta k_1 C_1 - n_2 C_2, \quad (12)$$

где k_1 – скорость химического превращения SO_2 в сульфаты; n_1, n_2 – скорости вымывания компонентов C_1, C_2 осадками; β – отношение молекулярных масс SO_4^{2-} и SO_2 . Модель (12) апробирована на задачах переноса соединений серы в [10].

Введем криволинейную систему координат [7], в которой поверхность $z = \delta(x, y)$ является координатной плоскостью:

$$x' = x; \quad y' = y; \quad z' = \frac{z - \delta}{1 - \delta/H}. \quad (13)$$

Преобразованные в соответствии с (13) уравнения (3) решались методом конечных разностей по переменным x', y', z', t [3]. Для интегрирования по времени использован неявный метод расщепления в варианте «предиктор–корректор» [11], модифицированный в целях увеличения нормы оператора перехода и повышения устойчивости алгоритма. При решении краевой задачи по вертикали применялись итерации по орографическим слагаемым.

Расчет ветрового режима

Сформулированная модель используется для воспроизведения пространственной структуры воздушного потока в районе Норильска при заданном течении в свободной атмосфере.

Рассмотрим область с размерами в плане 400×400 км и зададим верхнюю границу расчетного параллелепипеда $H = 3\,000$ м. Дискретизацию уравнений проведем на равномерной сетке, содержащей $128 \times 128 \times 90$ узлов, шаг по времени примем равным 90 с.

Расположим начало декартовой прямоугольной системы координат в точке с географическими координатами $67,5^\circ$ с.ш., $83,2^\circ$ в.д. так, чтобы центр области совпадал с центром г. Норильска, а начало отсчета приходилось на левый нижний угол области.

В качестве начальных условий зададим устойчивую температурную стратификацию со стандартным градиентом $S_0 = 0,003$ $^{\circ}\text{C}/\text{м}$, поле ветра при $t = 0$ получим из стационарного решения горизонтально однородной задачи.

Многослойная цифровая карта рельефа SRTM-30 с 30-секундным разрешением (925 м) выбиралась с сайта NASA и интерполировалась на расчетную сетку средствами ГИС.

Учитывая преобладающее западно-восточное направление переноса в свободной атмосфере, зададим скорость зонального течения в виде $U = 10$ м/с, $V = 0$. Эти параметры определяют правые части краевых условий (8). Решалась задача на установление, суточный ход метеорологических параметров не учитывался. Цель численного эксперимента состояла в получении пространственного распределения скорости ветра, обусловленного орографическим вынуждением.

Вертикальное распределение модельных компонентов скорости u , v в точке $x = 92$ км, $y = 3$ км (примерно соответствующей местоположению г. Игарка) сопоставлялось с имеющимися у нас среднестатистическими профилями скорости ветра по аэрологическим данным метеостанции Игарка. Обнаружилось качественное согласие полей скорости, а именно — формирование приземного возвратного течения ($u < 0$) в нижних слоях при $z < 300$ м, поворот ветра с высотой по часовой стрелке в средней части АПС и установление западно-восточного переноса к уровню $z = 3$ км.

Модельная скорость ветра в Норильске имеет достаточно сложную вертикальную структуру (рис. 1). Вблизи земли ветер направлен с северо-запада вдоль Норильской впадины. Выше вектор скорости испытывает вращение, так что в слое $1\,000 < z < 1\,500$ м формируется противоток, обусловленный обтеканием плато Путогран. Еще выше ($z \approx 1\,600$ м) расположена застойная зона, где модуль скорости близок к нулю. С приближением к верхней границе области суммарный угол поворота скорости превышает 360° .

В целом западный поток испытывает торможение вследствие влияния высоких хребтов в восточной

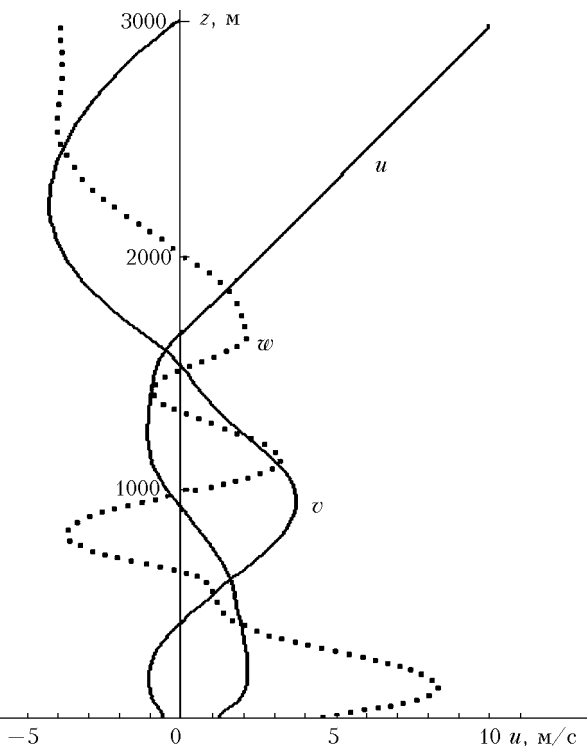


Рис. 1. Расчетные профили зональной (u) и меридиональной (v) составляющих скорости ветра в Норильске.

Пунктир — распределение вертикальной скорости w

части области. Сложную структуру ветра отражает изменчивый по высоте профиль w , построенный по максимальному значению 8 см/с.

Для анализа поля скоростей был проведен расчет траекторий в горизонтальной плоскости на разных уровнях. В приземном слое частицы перемещаются преимущественно в юго-восточном направлении, что соответствует ориентации Норильской впадины. Долина с высокими бортами образует своеобразный каньон, который вынуждает западный поток совершать поворот в южном направлении и двигаться вдоль склонов.

На высоте 1 000 м формируется сравнительно слабый ветер северо-восточного направления и частицы смещаются против основного потока. Ближе к верхней границе ($z = 2\,000$ м) происходит поворот ветра за счет сил Кориолиса. Течение приобретает организованную структуру с преобладанием юго-западного ветра. Становится отчетливым эффект огибания высоких восточных хребтов. Отдельные частицы, попадая в зоны дивергенции или конвергенции, значительно удаляются от исходного уровня и могут поменять направление перемещения.

Резюмируя, следует отметить, что топографические особенности местности в районе Норильска играют определяющую роль при формировании стационарных или медленно меняющихся течений. Поле ветра имеет существенно неоднородную структуру по горизонтали и сильную изменчивость по высоте. На разных уровнях адвекция может иметь самое разное направление, включая возвратные течения, застойные зоны, замкнутые роторы.

Расчет поля концентрации и выпадений SO_2

Рассчитанные поля скорости ветра и турбулентности использовались для получения оценок загрязнения территории и воздушного бассейна выбросами двуокиси серы от ГМК «Норильский никель». Валовой объем выбросов SO_2 условно взят 2 млн т/год, что в пересчете составляет около 63,5 кг/с. Интегрирование уравнений (9) проводилось до момента установления стационарного режима, при котором пространственная структура поля концентрации не менялась со временем.

Имея в виду предварительный характер расчетов, а также учитывая, что на сравнительно небольших расстояниях от источника химическая трансформация SO_2 не играет значительной роли, ограничимся случаем пассивного переноса однокомпонентной примеси, полагая в (12) $C_2 = 0$, $k_1 = 0$.

Согласно (12) выведение примеси из атмосферы реализуется двумя механизмами: сухим осаждением на подстилающую поверхность, учитываемым в виде граничного условия (10), и вымыванием осадками. Расчеты показали, что на временных масштабах порядка суток и на дистанциях десятки километров второй механизм является доминирующим. При этом чувствительность модели к вариа-

циям параметра n_1 (скорость вымывания) значительно выше, чем к γ_1 (сухое осаждение).

Принятое в [9] значение n_1 , равное 10^{-4} с^{-1} , ориентировано на использование в модели МСЦ-В для описания трансграничного переноса соединений серы на территориях с характерными масштабами 1 000 км. Упомянутое значение n_1 опирается на среднестатистическую структуру крупномасштабных осадков и в рамках мезомасштабного моделирования дает сильно завышенные объемы выпадений вблизи источника. В связи с этим параметризацию влажного выведения проведем физически более обоснованным способом, используя механизм седиментации. Зададим в (9) $w_g = 10^{-3} \text{ м/с}$ — скорость выпадения примеси, увлекаемой осадками. Для сухого осаждения используем рекомендованную в [9] величину $\gamma_1 = 0,012 \text{ м/с}$.

На рис. 2 представлены изолинии концентрации SO_2 в приземном слое воздуха. Максимум концентрации оказался смешенным к юго-востоку примерно на 60 км, а экстремальные значения превышают величину $1 \text{ мг}/\text{м}^3$. Для сравнения укажем, что нормативная среднесуточная ПДК составляет $0,05 \text{ мг}/\text{м}^3$. Отметим, что на высотах конфигурация поля концентрации меняется. Так, при $z = 900 \text{ м}$ шлейф примеси вытягивается к северу по среднему направлению ветра на этой высоте.

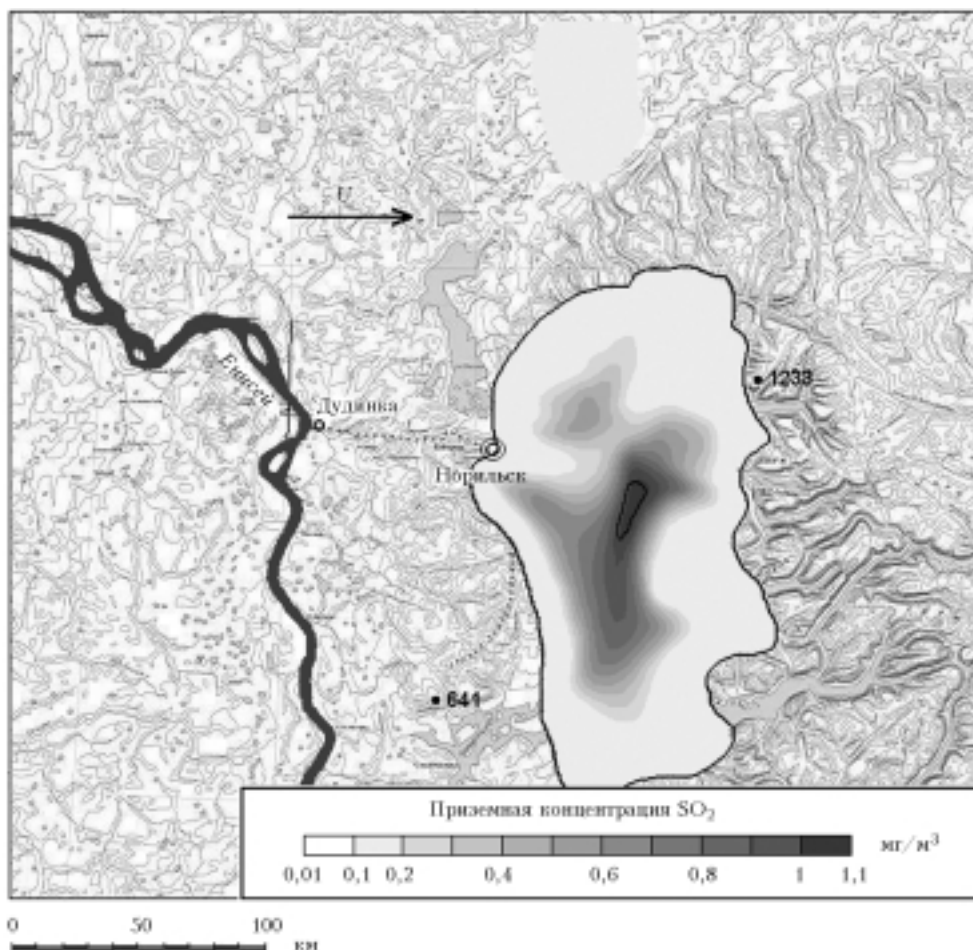


Рис. 2. Изолинии поля приземной концентрации SO_2

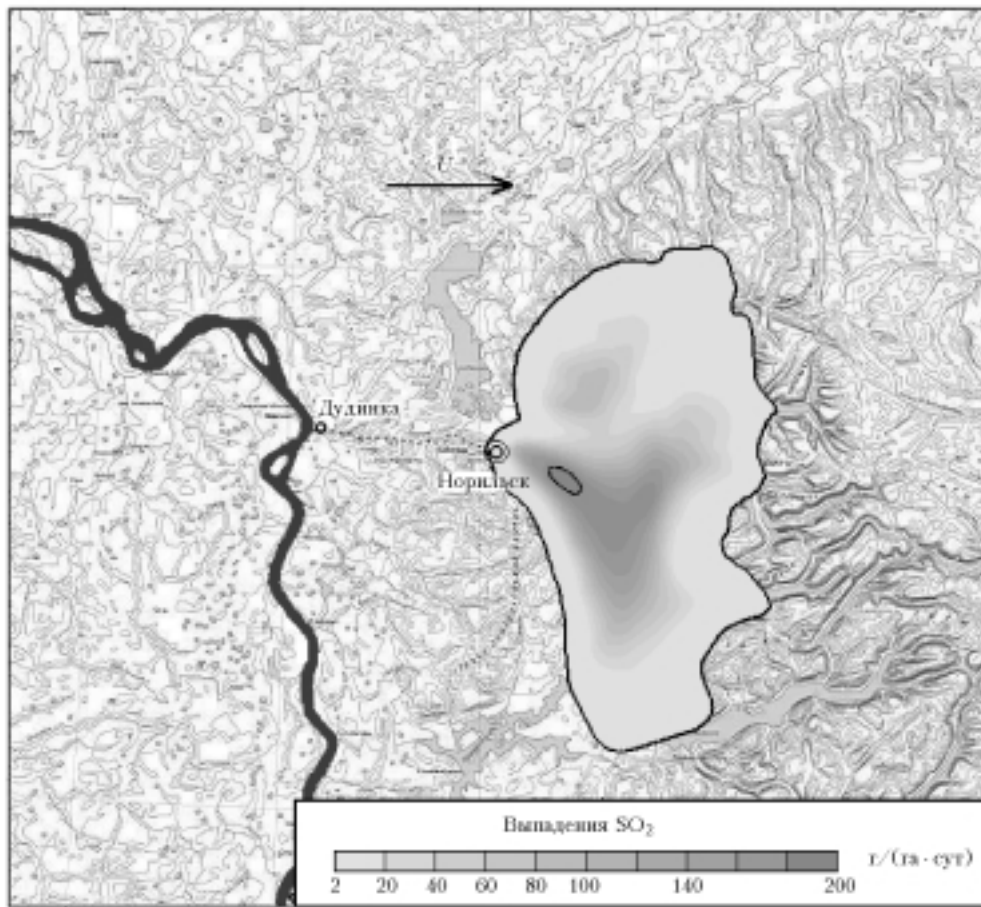


Рис. 3. Изолинии поля выпадений SO_2

В процессе выведения двуокись серы осаждается на подстилающую поверхность. Скорость накопления примеси на Земле иллюстрирует рис. 3. Максимум выпадений наблюдается на расстоянии 40–60 км от центра эмиссии. Согласно космической информации [2] именно в этом районе регистрировалась массовая гибель лиственницы. В целом отмеченная на рис. 3 территория близка к расположению площади угнетенных лесов [2].

Заключение

Представлена математическая модель мезомасштабного пограничного слоя атмосферы с возможностью воспроизведения турбулентных течений в сложных физико-географических условиях. В основу модели положены уравнения гидромоделингии, записанные в приближении глубокой конвекции, что позволяет описать волновые процессы орографической природы в нижней и средней тропосфере.

На основе проведенного исследования было бы прежде всего давать реальные оценки загрязнения территории Норильского региона — хотя бы потому, что отсутствие базы репрезентативных данных измерений не позволило провести полноценную калибровку внутренних параметров модели.

Вместе с тем представленные предварительные результаты позволяют констатировать, что мезомасштабная модель АПС более или менее адекватно воспроизводит основные черты локальной атмосферной циркуляции и особенности переноса поллютантов в условиях Норильской долины.

Работа выполнена при поддержке РФФИ, грант 03-05-65279.

1. Безуглая Э.Ю., Расторгуева Г.П., Смирнова И.В. Чем дышит промышленный город. Л.: Гидрометеоиздат, 1991. 255 с.
2. Харук В.И., Винтербергер К., Цибульский Г.М., Яхимович А.П. Анализ техногенной деградации притундровых лесов по данным съемки из космоса // Исслед. Земли из космоса. 1995. № 4. С. 91–97.
3. Шлычков В.А. Численная модель пограничного слоя атмосферы с детализацией конвективных процессов на основе вихреразрешающего подхода // Аэрозоли Сибири. Новосибирск: Изд-во СО РАН, 2005. 612 с.
4. Вельтищев Н.С., Желнин А.А. Численная модель влажной глубокой конвекции // Тр. Гидрометцентра СССР. 1981. Вып. 238. С. 36–48.
5. Атмосферная турбулентность и моделирование распространения примесей. Л.: Гидрометеоиздат, 1985. 351 с.
6. Пененко В.В., Алоян А.Е. Модели и методы для задач охраны окружающей среды. Новосибирск: Наука, 1985. 256 с.

7. Илюшин Б.Б., Курбацкий А.Ф. О применимости $E - l$ и $E - \varepsilon$ моделей турбулентности к нейтральному горизонтально однородному атмосферному пограничному слою // Изв. РАН. Физ. атмосф. и океана. 1994. Т. 30. № 5. С. 615–622.
8. Монин А.С., Яглом А.М. Статистическая гидромеханика. Т. 1. СПб.: Гидрометеоиздат, 1992. 694 с.
9. Модельные оценки выпадений соединений серы вблизи источников загрязнения и на подсеточном уровне (Субрегион г. Санкт-Петербурга). М., ЕМЕР/МСЦ-В. Отчет 9/95. 1995. 52 с.
10. Шлычков В.А. Расчет влияния выбросов Экибастузской ГРЭС на загрязнение территории Западной Сибири в результате дальнего атмосферного переноса // Оптика атмосф. и океана. 1998. Т. 11. № 6. С. 598–601.
11. Марчук Г.И. Методы вычислительной математики. Новосибирск: Наука, 1973. 352 с.

V.A. Shlychkov, V.M. Malbakhov, A.A. Lezhenin. Numerical modeling of atmospheric circulation and pollution transport in the Norilsk suburb.

Calculation results for local air circulation in the Norilsk suburb are presented. The city is located in the area with a complex topography with elevation change more than 1000 m. Orographical features in the city vicinities cause a formation of mountain-and-valley circulation with a wide scatter of trajectories and a fast changing transport direction. To describe air flow dynamics and pollutants' redistribution the numerical model of mesoscale atmospheric boundary layer was used. The model was adapted for the Norilsk natural-geographical conditions. The model values of sulphur dioxide fallout over the area for different meteorological situations were obtained.